

技術情報

PWR 熱水力設計方法

開 發 部

目 次

1. 序 言
2. 改良 COBRA3-C code
 - 2.1 改良 COBRA3-C code의 特徵
 - 2.2 基礎方程式
 - 2.3 境界條件
 - 2.4 model 및 相關式
3. 解析手法
 - 3.1 概 要
 - 3.2 爐心領域의 解析
 - 3.3 hot assembly 解析
 - 3.4 hot channel 解析
4. 改良 COBRA3-C code의 實證
5. 參考文獻

1. 序 言

本書는, 改良 COBRA3-C code를 사용한 PWR熱水力設計 方法과 그 評價에 관해서 정리한 것이다.

改良 COBRA3-C code는, PWR 爐心을 垂直平行한 水路의 모임이라고보고 各水路 에서의 冷却材의 局所條件 및 DNB比(DNBR)를 계산하는 code이다.

계산은, 各水路를 軸方向으로 細分한 control volume 에

- a. 質量保存法則
- b. 運動量保存法則
- c. energy 保存法則

을 적용해서 얻어지는 連立方程式을 인프리트하게 풀므로서 行해진다.

이때, 各水路間의 冷却材亂流 混合과 橫流를 고려한다.

또, 냉각재의 void model, 壓損增倍 係數의 設定數에 대해서는 PWR의 조건에 적합한 相關式을 사용하고 있다.

DNBR의 계산은, 改良 COBRA3-C code 에 서 얻은 hot channel의 局所熱 水力條件을 W-3 相關式에 適用해서 行한다. 이때의 hot channel의 熱水力 조건에는, 燃料棒이나 pellet 의 製作公差, 照射變形 및 核計算 誤差등의 여러가지 不確因子가 고려된다.

改良 COBRA3-C code를 사용한 熱水力設計法의 妥當性에 대해서는 PWR 조건을 想定한 여러가지의 爐外 시험 data의 解析으로서 뒷바침 되고 있다.

2. 改良 COBRA3-C code

2.1 改良 COBRA3-C code의 特徵

改良 COBRA3-C code는, PWR의 爐心熱水力設計와 熱水力 實驗 data 등의 解析을 목적으로한 code이다.

本 Code에 의해서, 定常 및 非定常 상태에서

의 爐心冷却材流量, enthalpy 및 DNBR의 3次元 特性을 계산할 수가 있다.

原版의 COBRA3-C code (文献 1)부터의 主要한 改良點은,

(1) PWR조건에 적합한 2相流 相關式을 받아들였는 것.

(2) 解析体系 外部境界에서의 橫流가 고려할 수 있다는 것.

後者の 改良에 의해 hot channel解析時에 爐心解析에서 얻어진 hot assembly와 인접 集合體間의 橫流의 영향이 고려될 수 있게 되었다. 이 결과 PWR 설계에서 주목하는 hot channel의 熱水力 特性은, 爐心 全體의 冷却材 舉動에 應해서 解析된다.

COBRA3-C는, 4次元 冷却材熱水力 特性의 解析code로서 넓이 인정되고 있으나, 앞에서 말한 改良에 加해서 PWR條件에서의 實測 data에 의한 實證을 行하여 改良 COBRA 3-C code의 PWR 熱水力 設計 code로서의 妥當性이 확인되어 있다. 以下에 COBRA 3-C code의 特徵을 요약한다.

(1) 定常 및 非定常의 냉각재熱水力 特性을 解析한다.

(2) 下流側의 흐름의 擾亂의 영향이 上流 側에 나타나도록 境界值 問題로 해서 方程式을 풀고 있다.

(3) 亂流混摻 및 發散流의 影響을 고려하고 있다.

(4) 徑方間 運動量 方程式에 空間加速項이 들어 있으며, 橫流의 慣性效果가 고려되어 있다.

(5) PWR 熱水力 設計에 적합한 기능을 가지며, 다시 實證 data에 의한 뒷받침이 있다.

2.2 基礎方程式

冷却材의 流量 및 enthalpy分布는, 냉각재의 混摻을 고려한 數學 model로 부터 계산한다. 冷却材熱水力 諸量의 關係式은, control volume에 質量, 運動量 및 energy 保存法則을 적용해서 얻어진다.

2.2.1 數學 model의 假定

基礎式을 導入할때에 다음의 假定을 設置한다.

1) 2相流 model

沸騰狀態의 水路에서는, 氣液 各相이 각각 一定한 物性 및 速度를 가지는 것으로 假定해서 1次元 2相分離 model를 사용한다.

2) void率

enthalpy, 壓力 및 流量의 關數로서 3次元各位置와 時間마다 定義한다.

3) 亂流混摻

인접水路間의 亂流混摻에서는 流体의 正味の 交換이 없는 것으로 한다. 또 亂流混摻에 의한 橫流는, 發散流에 重疊되는 것으로 한다.

4) 音速傳播에 의한 影響을 無視한다.

5) 發散流

發散流에 의한 流速은, 軸方向 流速과 비교해서 작은 것이라고 假定한다. 이 假定에서 橫流가 인접水路間에 發生한 경우에 그 方向性이 水路에 流入하고 이 時點에서 잃어버리는 것으로서 처리할 수 있으며, 또 水路間 gap에 垂直인 徑方向 運動量束의 差는 無視할 수 있다.

2.2.2 數學 model의 式

計算体系 軸方向 斷面에서의 mode 郡에 對해 다음의 連立 方程式이 얻어진다. 式中 { } 은 vector를, []는 行列을 나타낸다. 行列에 대해서는 [S]以外的은 모두 對角行列이다.

連續式

$$\{A\} \frac{\partial \rho}{\partial t} + \left\{ \frac{\partial m}{\partial x} \right\} = - [S]^T \{W\} - \{W^B\} \quad (1)$$

energy 式

$$\begin{aligned} \left\{ \frac{m}{u^*} \frac{\partial h}{\partial t} \right\} + \left\{ m \frac{\partial h}{\partial x} \right\} &= \{q'\} - [S]^T [\Delta h] \\ &\{W'\} - [S]^T [\Delta t] \{C_T\} \\ &+ [h] [S] \{W\} - [S] [h^*] \{W\} \\ &- [\Delta h^B] \{W'\} + [h^B] \{W^B\} - [h^B *] \{W^B\} \end{aligned} \quad (2)$$

軸方向 運動量 方程式

$$\begin{aligned} \left\{ \frac{I}{A} \frac{\partial m}{\partial t} \right\} - \left\{ 2u \frac{\partial \rho}{\partial t} \right\} + \left\{ \frac{\partial p}{\partial x} \right\} &= \{a'\} + \\ [A]^{-1} [2u] [S] - [S] [u^*] \{W\} &\quad (3) \end{aligned}$$

$$\{a'\} = - \left\{ \left(\frac{m_j}{A_j} \right)^2 \left(\frac{v f \phi}{2D} + \frac{K v'}{2\Delta x} + A \frac{\partial(v'/A)}{\partial k} \right) + \rho \cos \theta \right\} \\ - f_T [A]^{-1} [S]^T [\Delta u] \{W'\} + [A]^{-1} \\ \{[2u^B] - [u^{B*}]\} \{W^B\} \\ - f_T [A] [\Delta u^B] \{W'^B\} \quad (4)$$

徑方向 運動量 方程式

$$\left\{ \frac{\partial W}{\partial t} \right\} + \left\{ - \frac{\partial(u^{*w})}{\partial x} \right\} + \left(\frac{S}{I} \right) \{CW\} = \\ [S] \{p\} \quad (5)$$

基礎式(1)~(5)에서 未知量은, $\{m\}$, $\{p\}$, $\{h\}$ 이다.

計算体系에서, 徑方向 node數를 I, node間的境界數를 K個로 하거나는 I個의 連續式, I個의 軸方向 運動量式, I個의 energy式 및 K個의 徑方向 運動量 方程式의 合計 3 I+K個의 式이 얻어진다. 이에 對해 未知量도 3 I+K個가 된다.

上式中的 諸變數 및 記號의 說明을 以下에 記述한다.

- ρ 冷却材密度
- A 流路斷面積
- m 軸方向流量
- W 内部計算 node境界에서의 發散流
- W^B 計算体系 最外周境界에서의 發散流
- h enthalpy
- Δh 隣接 node의 enthalpy 差로서, node境界에 對해 定義한다.
- ΔT 인접 node의 溫度差로서 node境界에 對해 정의한다.
- W' 内部계산 node境界에서의 亂流混合量
- C_T 내부계산 node境界에서의 冷却材熱傳導度
- h^* 發散流 W에서 移行하는 enthalpy (인접 node i와 j로서 W_{ij} 의 正負에 의해 h_i 또는 h_j 가 된다.)
- W'^B 計算体系 最外周계산 node와 体系外 水路와의 亂流混合量
- Δh^B 計算体系 最外周계산 node와 体系外 水路와의 enthalpy 差
- h^{*B} W^B 의 正負로서 h^* 와 같이 決定되는 enthalpy
- h^B 計算体系 外部의 enthalpy
- ρ 壓力
- u momentum velocity
- u'' 發散流 W에서 移行하는 momentum velocity (W_{ij} 의 正負에서 u_i 또는 u_j)
- u^B 計算体系 外部의 momentum velocity
- u^{*B} W^B 에서 移行하는 momentum velocity (W^B 의 正負에서 u^* 와 같이 定해진다.)

- ν 比体積
- f 마찰損失係數
- ϕ 2相流 增倍係數
- K 支持格子 또는 nozzle의 壓損係數
- u' 輸送運動量의 比体積
- f_T 亂流運動量 因子
- (S/I) rod gap와 subchannel間 거리의 比
- [S] 着目하는 node i와 인접 node j를 關係 지우는 matrix (I×k)

1) 連續의 式

式(1)의 右邊은 發散流이며, 計算 node 에서의 正味의 流量 變化를 나타낸다. 亂流混合에서는, 正味자 質量 交換이 없으므로 式中에 나타나지 않는다. 密度의 時間 變化를 표시하는 項은, 流体의 膨脹 또는 收縮에 의한 流量 變化를 표시한다.

2) energy 式

式(2)의 右邊은, 發熱에 의한 energy 上昇과 亂流混合, 熱傳導 및 發散流에 의한 energy 移行을 포함한다.

亂流混合 W' 는, 渦擴散과 相似한 것이며, 實驗에서 定해지는 定數를 사용해서 定義한다.

發散流 W로서 移行하는 enthalpy h^* 는, W의 方向性으로서 定해진다.

3) 軸方向運動量式

式(3)의 右邊은, 軸方向壓力 勾配를 支配하는 項을 포함하며, 여기서 S는 橫流의 項과 마찰, 加速損失 및, 水頭에 의한 壓力 勾配의 項이다.

亂流混合의 項은, 亂流應力의 近似이며 f_T 는 enthalpy와 運動量의 亂流輸送에 關하는 差違를 補正하는 因子이다.

發散流의 項은, 인접 node間에서의 流速의 差에 의한 運動量 變化를 나타낸다.

4) 徑方向運動量式

徑方向 運動量 方程式은, 橫流의 時間과 空間의 加速項과 마찰 및 壓力差의 項으로서 된다.

(S/I)는, 마찰 및 壓力項의 慣性項에 對하는 重要度を 표시하는 parameter이다.

慣性項의 中에서 橫流에 의한 流速이 軸方向 流速에 比해서 작다고 하는 假定부터

$\frac{\partial u W_{ij}}{\partial y}$ 를 除外하고 있다. 이 假定에 의해 橫流의 方向性은 인접 node間 만으로서 고려하고

있다. 左邊第2項은, Kahn 등의 橫流 低抗相關式에서 보는 慣性効果(水路 下流側에서 橫流가 持續하는 것)의 原因이 된다.

2.3 境界條件

前項에서 유도한 基礎式을 다음의 境界條件으로서 用다.

表 2.1 境界條件

境界	條件
入口部	(1) 冷却材入口 溫度 또는 enthalpy 分布 (2) 冷却材入口 流量分布 (3) 橫流하는 流量은 零
周邊境界部	(1) 境界가 物理的인 障壁 또는 對稱面 境界部일때 橫流하는 流量은 零 (2) 高温集合體의 subchannel 解析 인접集合體와의 流量, enthalpy 交換量
出口部	(1) system 壓力

2.4 MODEL 및 相關式

2.4.1 表面熱傳達係數

非沸騰 領域에서의 燃料棒 表面의 熱傳達 係數는 Dittus-Boelter의 式을 用한다.

$$h = 0.023 (K/De) Re^{0.8} Pr^{0.4} \quad (6)$$

여기서

- K 물의 熱傳導度 (Btu/hr·ft²·°F)
- De 等價直徑 (in)
- Re Reynolds 數
- Pr Prandtl 數

또, 沸騰 領域에서는 Thom의 式을 用한다.

$$T_c = T_{sat} + \frac{0.072 Q''^{0.5}}{\exp(P/1260)} \quad (7)$$

여기서

- T_c 被覆管 表面溫度 (°F)
- T_{sat} 冷却材의 飽和溫度 (°F)
- Q'' 表面熱流束 (Btu/hr·ft²)
- P 壓力 (psia)

2.4.2 void 率

沸騰 過程을 다음의 3 領域으로 나누어서 void 率을 評價한다.

- ① 高 subcool 沸騰領域
- ② 低 subcool 沸騰領域
- ③ 體積沸騰領域

高 subcool 沸騰 領域은 發生한 氣泡가 傳達壁面에 附着하고 있는 領域이다. 이 영역에서는 冷却材 平均 subcool가 크기 때문에 發生한 氣泡는 傳熱壁面上에서 凝縮해 버린다.

低 subcool 沸騰 領域에서는, 液體의 加熱이 進行되어 傳熱面을 離脫한 氣泡는 冷却材 全体로서는 未飽和일지라도 一定期間 存在할 수 있다. 體積沸騰 領域에서는 冷却材 平均溫度가 沸點을 넘어 全体로서 沸騰이 發生하는 狀態이다.

1) 表面沸騰開始點

冷却材 平均溫度는, 沸點以下이나 強制 對流 傳達式으로 계산되는 被覆管 表面 溫度가 表面 沸騰時의 被覆管 表面 溫度計算值와 같아지는 點을 沸騰開始點으로 한다. 表面沸騰熱 傳達式은 Thom의 式을, 強制對流 熱傳達式은 Dittus-Boelter 式을 用한다.

2) 高 subcool 沸騰 領域의 void 率

Maurer가, Griffith et al의 實驗式을 一部修正한 다음의 相關式을 用한다. (文獻 2)

$$\alpha = a \cdot Ph/A \quad (8)$$

$$a = \left[\phi - h_{DB} (T_w - T_B) \right] Pr K / \{ 1.07 h_{DB}^2 (T_{sat} - T_B) \} \quad (9)$$

但, α void 率

- a 傳熱面上의 void 率 (in)
- Ph 單位길이 當의 發熱面積 (in)
- A 流路斷面積 (in²)
- T_w 壁面溫度 (°F)
- T_B 冷却材 平均溫度

$$TW = T_{sat} + 60 (\phi/10^6)^{0.25} e^{-P/900}$$

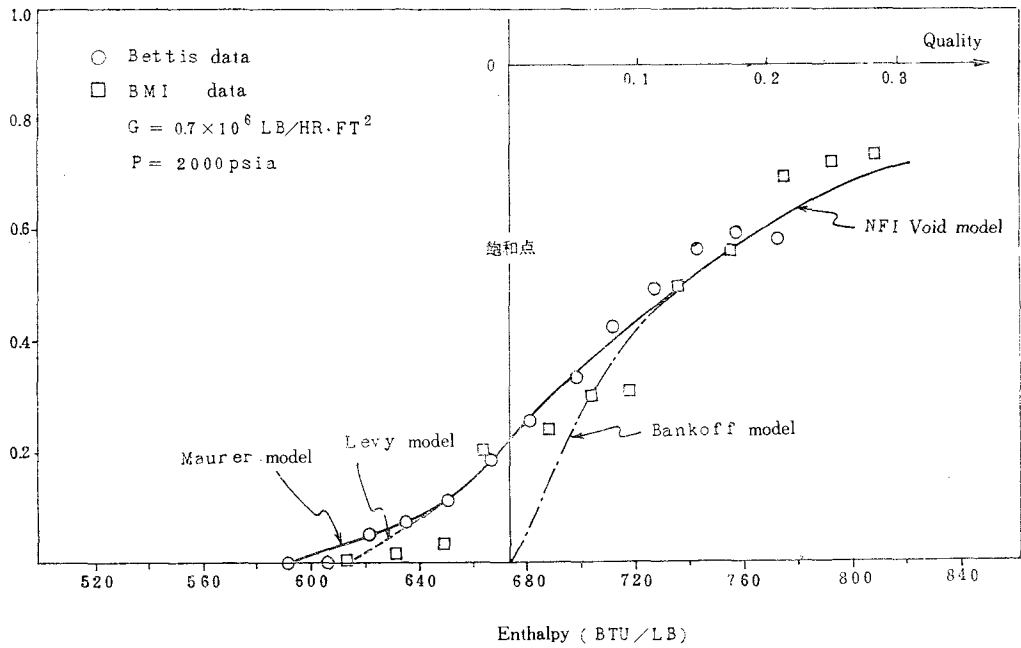
本領域의 上限은, Griffith 등의 실험 結果에 의 해 α=0.004in로 한다.

3) 低 subcool 沸騰 領域의 void 率

低 subcool 沸騰 領域의 眞의 quality (熱的非平行衡 quality)를 算出하고, 이 quality부터 別途로 주어지는 void 率 相關式을 利用해서 void 率을 求한다. (文獻 3)

眞의 quality는, Levy式에서, void 率은 Ban-koff 式으로서 求한다.

$$\alpha = (0.71 + 0.0001P) / (1 + \frac{vq}{v_e} (1 - X_e) / X_e) \quad (10)$$



第 2.1 圖 實驗 data와 NIF Void model의 比較

$$X_e = X - X_d e^{(X/X_d - 1)} \quad (11)$$

$$X_d = -C_p \Delta t d / H_{fg} \quad (12)$$

$$\Delta t d = \phi / h_{DB} = 5Q \{Pr + 1 + \ln(1 + 5Pr) + \frac{1}{2} \ln \left(\frac{Y_B^+}{30} \right)\} \quad (13)$$

$$Y_B^+ = \frac{0.015}{ue} \sqrt{\sigma De \cdot g / ue} \quad (14)$$

$$Q = \phi / C_p \cdot G \sqrt{f / 8} \quad (15)$$

但, u_g 氣相比重量 (ft³/lb)

u_e 液相比重量 (ft³/lb)

X_e 眞의 quality

X 熱平衡 quality

X_d 氣泡離脫 開始點의 quality

$\Delta t d$ 氣泡離脫 開始點의 subcool (°F)

C_p 定壓比熱 (Btu/lb. °F)

H_{fg} 潛熱 (Btu/lb)

σ 表面張力 (lb/ft)

ue 液相粘性係數 (lb/hr·ft)

G 質量速度 (lb/hr·ft²)

f 摩擦係數

4) 體沸騰 領域의 void率

3) 에서 표시한 Bankoff의 式을 使用한다.

(式(10))

5) 原燃工 void model와 實驗值의 比較

Bettis 및 BMI (文獻2, 3)에서의 實驗 data와

原燃工의 void model에 의한 計算 結果의 比較
를 第 2.1圖에 표시한다.

이 圖를 以下에 要約한다.

① BMI와 Bettis의 兩 data는 잘 一致하고
있으며, 兩者의 data의 信賴性은 높다.

② void發生點 附近에서는, Maurer의 void
model와 實驗은 잘 一致하고 있다.

따라서 void相關으로서 原燃工 model를 使用
하는 것은 妥當하다.

2.4.3 壓力損失係數

(1) 軸方向 壓力損失

① 摩擦損失 係數(f)

Reynolds 數의 依存性을 고려한 式을 使用한
다.

$$f = A Re^B \quad (16)$$

燃料束에 의한 壓力損失의 測定 data부터 上式
中の 係數A, B가 결정된다.

② 支持格子 및 nozzle 部의 壓損係數

拘束部의 壓力損失은, 다음式으로서 評價한다.

$$\Delta p = \frac{K}{2g\rho} \left(\frac{m}{A} \right)^2 \quad (17)$$

壓力損失 係數K는, 實際 尺寸 모형 燃料集合
體를 使用한 流水실험의 結果부터 求한다. K는

高 Reynolds 數領域 ($\sim 3 \times 10^5$ 以上)에서 一定하게 된다. PWR 爐心の 平均 Reynolds 數는 약 4.3×10^5 이며, Reynolds 數의 依存性이 거의 없는 領域이다.

(2) 徑方向 壓力損失 係數

다음에 표시한 徑方向 運動量 方程式에서 C가 徑方向 壓力損失 係數이다.

$$\left\{ \frac{\partial w}{\partial t} \right\} + \left\{ \frac{\partial (u^{*w})}{\partial x} \right\} + \left(\frac{s}{l} \right) \{ C \mid W \mid W \} = \left(\frac{s}{l} \right) [S] \{ p \} \quad (18)$$

설계에서는 壓損 係數 C에 關하는 感度 解析과, 實測 data의 解析 結果부터 다음의 值를 사용한다.

① subchannel 解析 (燃料棒 4本으로서 둘러싸인 水路를 1channel로 할 때)

$$C = 0.5$$

② 爐心 解析 (集合體 1體를 1channel로 할 때)

$$C = 0.5 \times N_c$$

但, N_c = 集合體 gap 數 (15 × 15 燃料에서는 15)

(3) 마찰損失 增倍係數 (f/f_{iso})

다음의 void 領域마다 마찰損失 增倍係數를 사용한다.

① 單相流

加熱壁面 근방에서의 粘性 變化를 고려한

Esselman et al의 式을 사용한다. (文獻4, 文獻5)

$$f/f_{iso} = 1 - 0.001915 \Delta T f \quad (19)$$

$$\Delta T f = \phi / h_{DB} \quad (20)$$

② subcool void 領域

Bettis 實驗에 의한 式을 사용한다. (文獻5, 6)

$$f/f_{iso} = (1 - 0.0025 \Delta T) \left\{ 1 + 0.76 \left(\frac{G}{10^6} \right)^{0.666} \left(1 - \frac{\Delta T}{0.766 \Delta T f} \right) \right\} \quad (21)$$

$$\Delta T = T_{sat} + 60 (\phi / 10^6)^{0.25} e^{-P/900} - T_B \quad (22)$$

③ 體沸騰 領域

2000psia에서의 Sher의 實驗 data (文獻6)에 따라서, 流量과 quality를 關數로 한 修正 Martineri-Nelson 式을 사용한다.

$$f/f_{iso} = \phi^2 LO - M - N \left(\frac{\phi^2 LO}{\phi LO - M - N} \right) \quad (23)$$

$$\phi^2 LO - M - N = \text{Exp} \{ [0.0054967 (\ln p)^2$$

$$- 0.0420123 \ln p - 0.0460659] \} (\ln X)^2$$

$$+ [-0.0169938 (\ln p)^2 + 0.1018 \ln p + 0.374889] \ln X$$

$$+ [-0.192039 (\ln p)^2 + 1.0184 \ln p + 4.99236] \} \quad (24)$$

$$\left(\frac{\phi^2 LO}{\phi LO - M - N} \right) = (3.645 \times 10^{-12} G^2 - 1.36858 \times 10^{-6} G - 1.52805) X^2$$

$$+ (3.646 \times 10^{-13} G^2 - 5.28258 \times 10^{-6} G + 4.82373) X$$

$$+ (1.55713 \times 10^{-14} G^2 - 8.59097 \times 10^{-8} G - 1.05403) \quad (25)$$

但, $\phi^2 LO - M - N$ Martineri-Nelson 乘數

$$\left(\frac{\phi^2 LO}{\phi LO - M - N} \right) \text{ Martineri-Nelson 修正式}$$

X	quality	()
P	壓力	(psia)
G	質量速度	(lb/hr·ft ²)

2.4.4 亂流 混合量

인접 subchannel i, j間에서의 亂流 混合量 W_{ij} 는 次式으로서 표시한다.

$$W'_{ij} = TDC \times \bar{G} \times S \quad (26)$$

但,

TDC	亂流 混合係數	()
W_{ij}	亂流 混合量	(lb/hr·ft)
\bar{G}	subchannel i, j의 平均 質量速度	(lb/hr·ft)
S	channel 間 gap	

亂流 混合量은, 支持格子의 구조등에도 영향을 받는다. 설계에서는, 混合實驗 結果를 解析하여 얻어진 TDC에 대해 過小 評價한 TDC를 사용한다.

2.4.5 DNB 相關式

DNB 相關式으로서 W-3 相關式과 軸方向 非一樣 熱流束 因子 및 修正 支持 格子 因子를 사용한다. 또 冷壁面을 가지는 simple cell에는 冷壁面 效果 因子를 적용한다. DNB 熱流束은 改良 COBRA 3-C에서 예측한 局所 冷却材 條件을 W-3 相關式에 적용시켜 評價한다. W-3 相關式은, THINC code에 의해 多數의 DNB 시험 data를 解析하여 개발된 것이다.

COBRA 3-C code와 THINC code의 DNB

豫測에 對한 同等性은, WH社 公開 data를(文獻 7) 改良 COBRA 3 - C로서 解析하여 實證하였다.

DNBR는 次式으로서 定義된다.

$$DNBR = \frac{Q''_{DNB, EU} \cdot CWF \cdot F'_s}{F \cdot Q''_{Loc}} \quad (27)$$

(1) W - 3 相關式 ($Q''_{DNB, EU}$)

$$\begin{aligned} \frac{Q''_{DNB, EU}}{10^6} = & \{ (2.022 - 0.0004302p) + (0.1722 \\ & - 0.0000984p) e^{(18.177 - 0.00412p) x} \} \\ & \times \{ (0.1484 - 1.596x + 0.1729x^2) \times | \\ & G/10^6 + 1.037 \} \times (1.157 - 0.869x) \\ & \times \{ 0.2664 + 0.8357e^{3151De} \} \times \\ & \{ 0.8258 + 0.000794 (H_{sat} - H_{in}) \} \quad (28) \end{aligned}$$

(2) 軸方向 非一樣熱流束 分布因子 (F)

$$F = C \times \frac{1}{Q''_{Loc} [1 - e^{-C_{1DNB}}]} \int_0^{1DNB} Q''(z) e^{-C_{1DNB} z} dz \quad (29)$$

$$C = 0.15 (1 - x)^{4.31} / (G/10^6)^{0.478} \quad (30)$$

(3) 冷壁面因子 (CWF)

$$\begin{aligned} CWF = & 1.0 - Ru \{ 13.76 - 1.372e^{1.78x} - 4.732 \\ & (\frac{G}{10^6})^{-0.0535} - 0.0619 (\frac{p}{1000})^{0.14} \\ & - 8.509Dh^{0.107} \} \quad (31) \end{aligned}$$

$$Ru = 1 - De/Dh$$

(4) 支持格子因子 (F'_{s-L})

$$\begin{aligned} F'_s = & 0.986 \{ (\frac{p}{225.896})^{0.5} (1.445 - 0.0371 \times L) \\ & (e^{(x+0.2)^2} - 0.73) \\ & + K_s \frac{G}{10^6} \cdot (\frac{TDC}{0.019})^{0.35} \} \quad (32) \end{aligned}$$

但,

Q''_{Loc}	燃料棒局所熱流束	(Btu/hr·ft ²)
p	1次系壓力	(psia)
X	quality	(-)
G	冷却材質量速度	(lb/hr·ft ²)
De	水力等價直徑	(in)
Dh	發熱等價直徑	(in)
Hsat	飽和enthalpy	(Btu/lb)
Hin	入口enthalpy	(Btu/lb)
l_{DNB}	沸騰開始點부터의 距離	(in)
L	發熱長	(ft)
TDC	熱擴散係數	(-)
K_s	支持格子間隔 補正因子	(-)

3. 解析方法

3.1 概要

原子爐 熱水力 設計 code改良 COBRA 3 - C 를 사용한 경우의 DNB解析 手法에 對해서 표시한다. 熱水力 設計基準은, 爐心內의 hottest channel에서의 DNBR를 1.3이상으로 하는 것이나 이 基準이 滿足되며는, 95%의 信賴度로서 燃料棒의 적어도 0.5%가 DNB를 일으키는 일이 없다.

DNB熱流束은, subchannel 解析 code로서 計算한 局所冷却材 條件에 W - 3 相關式을 적용해서 얻어진다.

局所冷却材 條件은, 燃料의 製作公差나 出力 分布의 不確性에 영향을 받으므로, DNB 解析에 있어서는 이들의 不確性的 評價나 影響의 파악이 重要하다. 이들을 고려한 DNB解析의 方法을 圖 3.1에 표시한다.

이 DNB解析 手法은 下記와 같은 特徵이 있다.

1) 冷却材流量, enthalpy 分布의 계산은 冷却材의 混合 效果를 고려해서 行한다.

W - 3 相關式을 改良COBRB 3 - C code 에서 사용하는 것의 妥當性은, DNB試驗 data 등으로서 實證되고 있다.

2) 燃料集合체를 1channel로 한 爐心 規模의 解析을 行하여 hot assembly의 流量 條件을 파악하고 다음에 hot assembly內의 subchannel 解析을 行하여 最小 DNBR를 산출한다. hot-channel 解析에서의 流量은, 1/8爐心 解析의 結果를 사용하고 있다.

3) 出力, 流量·流路 등의 不確性은 統計處理 또는 相乘處理하므로서 考慮한다.

改良 COBRA 3 - C code 에서는 이들의 不確性度를 직접 계산조건으로서 入力하거나 또는 계산 結果에 不確性 因子를 乘해서 평가한다.

3.2 爐心領域의 解析

3.2.1 目的

1/8對稱 爐心에서, 集合체를 1水路로 하는

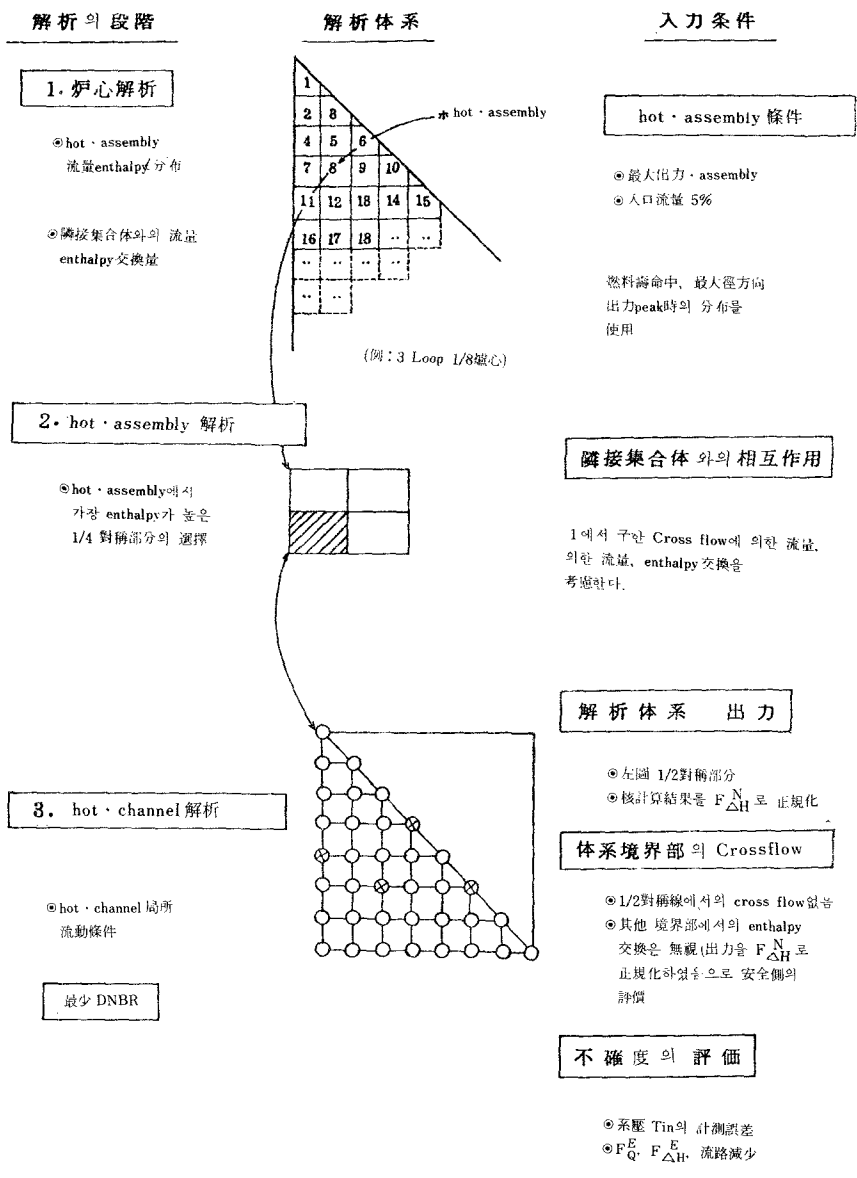


圖 3.1 DNB 解析의 方法

解析을 行하여 hot assembly를 흐르는 냉각재의 enthalpy와 流量分布를 파악한다. hot assembly와 인접集合체間의 流量과 enthalpy의 交換量을 保存하고 그 後의 解析段階에서 境界條件으로서 使用한다.

3.2.2 解析條件

- (1) 計算体系
 - 集合체를 1channel로 하는 1/8對稱爐心을 계산 체계로 한다.
- (2) 出力分布
 - 壽命中 徑方向 出力 peaking이 최대가 되는 出

力分布를 사용한다.

(3) hot-assembly 條件

① 出力

徑方向出力 peak가 최대가 되는 위치의 연로를 hot-assembly로 한다.

② 入口流量分布

hot-assembly의 入口流量을, 爐心 下部 plenum구조와 流動의 不確度를 고려하여 平均値의 5%減으로 한다.

(4) 計測誤差의 評價

① 冷却材入口 溫度: nominal値+4°F로 한다.

② system 壓 力: nominal値-30psia로 한다.

3.3 hot-assembly 解析

3.3.1 目的

hot-assembly内를 1/4對稱部分으로 分割하고, 最高溫 部分의 流量과 enthalpy 分布를 파악한다. 入口流量 條件 및 各軸方向 높이에서의 인접연료集合체와의 運動量 및 enthalpy의 交換은 爐心領域의 解析에서 求한 値를 사용한다.

3.3.2 解析條件

(1) 計算體系

hot-assembly를 計算體系로 하고 内部를 4等分한 4channel model로 한다.

(2) 出力分布

hot-assembly의 1/4對稱部 마다에 核計算에서 얻어진 出力을 주어진다.

(3) 流水抵抗

爐心領域의 解析에 使用한, hot-assembly의 入力値와 같은 値를 사용한다.

(4) 流路面積

爐心領域의 解析에 使用한 hot-assembly의 入力値의 1/4을 各 channel의 流路面積으로 한다.

3.4 hot-channel 解析

3.4.1 目的

hot-channel를 포함한 연료集合체의 全体的인 熱水力 計算 結果부터 hot-channel의 최소 DNBR를 解析한다. 이 解析에서는, 製作公差, 연료의 照射變形, 出力 分布의 不確度를 고려한다.

3.4.2 解析條件

(1) 計算體系

hot-assembly 解析에서 얻어진 最高溫 1/4 對稱部를 圖3.1에 표시한 subchannel로 分割해서 解析한다.

(2) 出力分布

① 徑方向: 核 계산에서 求한 燃料棒 마다의 出力 分布를 $F_{\Delta H}$ 로 正規化한다.

② 軸方向: 1.55 cos 分布 (3 Loop爐) 또는 1.72 cos 分布 (2 Loop爐)

③ 出力 分布에 關하는 安全側으로의 配置 爐心領域부터 hot-assembly 으로서의 解析을 通해서 本體系 에서의 冷却材 流量은 爐心 全体的 냉각재 流量 配分의 結果가 살려져 있다.

따라서, 徑方向出力 分布를 $F_{\Delta H}$ 로 正規化 하므로서 enthalpy의 level은, 爐心領域의 解析結果보다도 높여져 있다.

또, 인접集合체부터의 橫流에 의한 enthalpy의 교환을 무시 했으므로 出力을 $F_{\Delta H}$ 로 正規化 하는 것이 엄하게 평가 되는 結果로 되어 있다.

(3) 不確度 係數의 處理法

최소 DNBR가 發生하는 channel(hot channel)에 대해서 下記의 不確度를 고려한다.

① 熱流束의 不確度

pellet徑, 濃縮度, 密度 및 被覆管 外徑의 製造公差를 統計處理해서 局所熱流束의 3σ 까지의 不確度量을 算出한다.

이 結果를 개량 COBRA 3-C에 入力시켜 hot channel의 局所熱流束 및 enthalpy 上昇을 評價한다.

② 流路斷面積의 不確度

燃料棒의 外徑, pitch 및 屈曲등의 製造公差를 統計處理하여 95% 確率에서의 流路面積減少量을 算出한다.

이 結果를 改良 COBRA-3C 解析의 hot channel 流路斷面積에 入力한다.

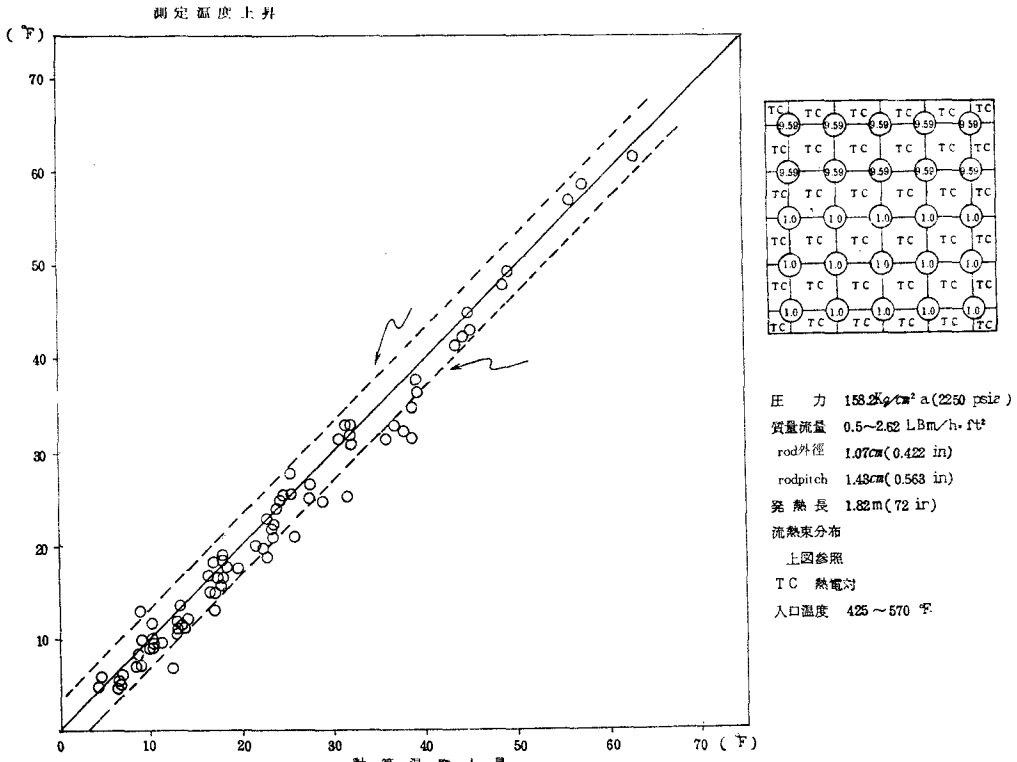
表 3.1에 熱水力 設計에서 고려하는 不確性因자와 그 處理法을 정리하였다.

4. 改良 COBRA3-C code의 實證

PWR에서의 爐心解析 및 subchannel 解析에

表 3 .1 改良 COBRA3 - C 解析에서의 保守性

項 目	分 類	不確性量 또는 分布	處 理 法
入口流量分布	爐 心 解 析	5 %	hot channel를 포함한 集合體(以下 hot assembly)의 入口流量을 平均値의 5 %減으로 한다.
計 測 誤 差	爐心, hot assembly, subchannel解析	冷却材入口溫度 $\pm 4^{\circ}F$ system 壓力 - 30psi	入口溫度를 nominal 值 + 4 $^{\circ}F$ 로 한다. system 壓力을 nominal 值 - 30psia로 한다.
軸方向出力分布	爐心, hot assembly subchannel解析	1.72cos分布 (2 Loop爐) 1.55cos分布 (3 Loop爐)	各集合體 또는 各燃料棒의 軸方向出力 分布로서 사용한다.
徑方向出力分布	subchannel解析	$F_{\Delta H}^N = \begin{cases} 1.51(2\text{Loop爐}) \\ 1.55(3\text{Loop爐}) \end{cases}$	rod마다의 出力分布는, 최대 發熱棒 出力比의 計算値를 $F_{\Delta H}^N$ 로 올려놓고 全體를 正規化한다.
製 作 公 差 (1) 熱流束 (F_q^E)	Subchannel解析	Pellet密度 Pellet濃縮度 Pellet外徑 被覆管外徑	統計解析에 의한 3 %의 局所熱流束의 不確性을 고려한다.
(2) 流路減少 (F_{SS})	subchannel解析	被覆管外徑 pitch	統計解析에 의해 hot channel流路의 pitch를 減少시킨다.
(3) enthalpy上昇 ($F_{\Delta H}^E$)	subchannel解析	pellet密度 pellet濃縮度 pellet外徑	統計解析에 의해 hot channel의 enthalpy上昇을 nominal부터 增加시킨다.



對한 改良 COBRA3-C의 實證을 下記 data 에 의해서 行하였다.

(1) 原子爐 運轉時의 爐心出口 溫度測定 data

(2) 5×5 燃料束에 의한 混合試驗 data

第 4.1圖 및 第 4.2圖에서 표시하는것 같이 實測 data와 改良 COBRA3-C의 解析結果는 좋은 一致를 나타내고 있다.

또, 第 4.3圖에 改良 COBRA3-C code 와 T HINC code에 의한 DNB試驗 data의 解析結果를 비교해서 표시한다. 兩者의 一致는 良好하며, 兩 code는 同等하다고 할 수 있다.

5. 參考文獻

- (1) D. S. Rowe: BNWL-1695 COBRA3C: A Digital Computer program For Steady State And Transient Thermal Hydraulic Analysis of Rod Bundle Nuclear Fuel Elements
- (2) G. W. Maurer: A Method of Predicting steady state Boiling Vapour Fractions in

- Reactor Coolant Channels, WAPD-BT-19
- (3) S. Levy: Forced Convection Subcooled Boiling Prediction of Vapor Volumetric Fraction, GEAP-5157. G. E. Atomic Power Equipment Dept. San Jose, California (April 1966年)
 - (4) L. S. Tong: Pressure Drop Performance of a Rod Bundle, ASME '68
 - (5) L. S. Tong: Boiling Heat Transfer and Two-Phase Flow·Wiley '66
 - (6) WAPD-TH-326: Revised Pressure Drop Recommendations for Pressurized Water Reactor Design
 - (7) E. R. Rosal et al: High Pressure Rod Bundle DNB Data with Axially Non Uniform Heat Flux, Nuclear Eng. and Design 31 ('74)
 - (8) K. W. Hill et al: Effect of a Rod Bowed to Contact on Critical Heat Flux in Pressurized Water Reactor Rod Bundles 75-WA/HT-77

이달의 到着 資料

◇ 定期刊行物

- △ ENERGY <스위스> Vol 3, No. 10, 12, 12, 13.
- △ BUIIETIN <英國, 原産> 1979年 5月號
- △ ATOMS IN JAPAN <日本> Vol 23, 205.
- △ 原子力 産業新聞 <日本> 977, 978, 979, 981 號
- △ 原子力文化 <日本> 114號
- △ Nuclear News <美國> Vol 22, No.5, 6, 7.
- △ BUIIETIN <IAEA> Vol 28.
- △ ATOM <英國> 1979, 6月號
- △ 原子力 資料 <日本> No.10

◇ 參考圖書

- △ 亞細亞 太平洋 地域의 ENERGY 事情 <日本> — 韓國과 自由中國편 —
- △ FINNATOM <핀란드> 핀란드 原子力 産業紹介

- △ NFO, Hot Laboratory 施設의 設計와 建設 <日本>
- △ 原子力 發電所用 Cable 特性 <日本>
- △ NEA 6th Activity Report <佛>
- △ Symposium on International Co-operation Co-operation PARIS <佛> <1978. 2>
- △ 發電所 温排水魚業 <日本>

◇ 會社 및 製品案内 Catalogue <日本, 到着順>

- △ 大倉電氣(株)
- △ 助川電氣(株)
- △ 新日本製鐵(株)
- △ 大林組(株)
- △ 若井田理學機器(株)
- △ 住友金屬(株)
- △ 日本核燃料開發(株)
- △ 日本 Nuclear Fuel(株)
- △ 大倉電氣(株)
- △ 大日本電線(株)
- △ 三菱原子力發電(株)
- △ 日本原子力發電(株)
- △ 平田 Valve 工業(株)
- △ 科學技術社
- △ 富士電氣(株)